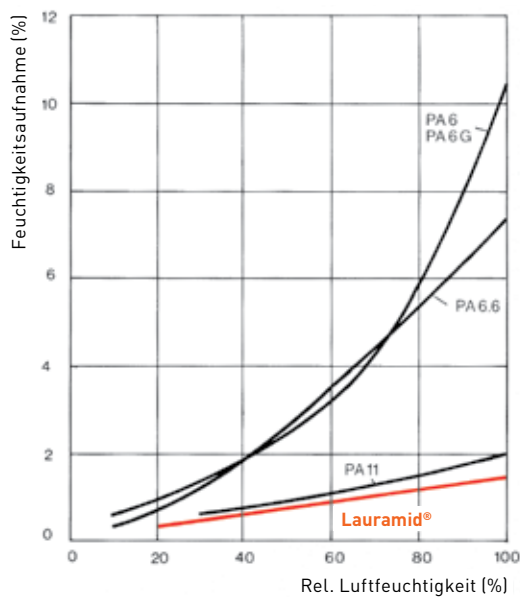


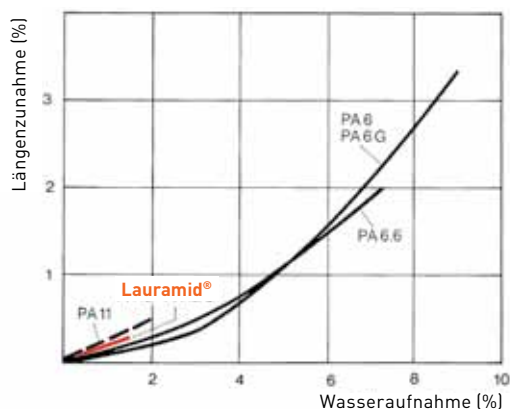
LAURAMID® PA 12C GUSS

Physikalische Eigenschaften verschiedener Polyamide und Lauramid® im Vergleich

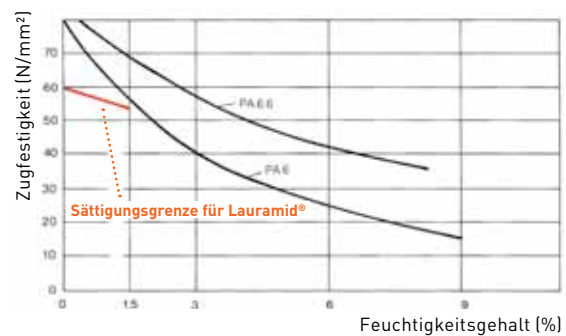
Gleichgewichts-Feuchtigkeitsgehalt verschiedener Polyamide und Lauramid® als Funktion der relativen Luftfeuchtigkeit bei Wasserlagerung



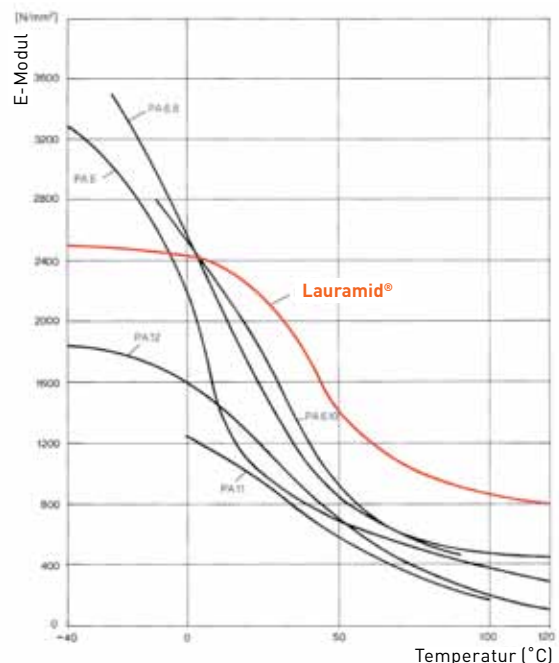
Prozentuale Längenzunahme verschiedener Polyamide und Lauramid® abhängig von der prozentualen Wasseraufnahme (Wasser mit Raumtemperatur)



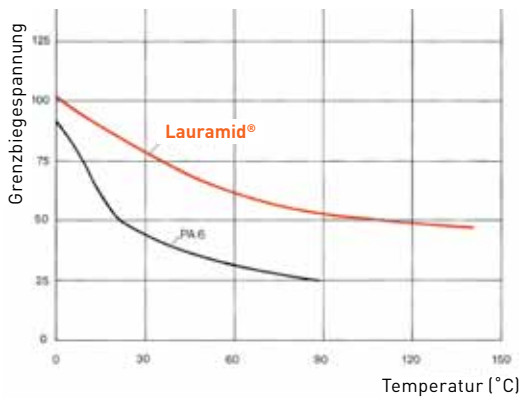
Zugfestigkeit verschiedener Polyamide und Lauramid® als Funktion des Feuchtigkeitsgehaltes bei 20 °C



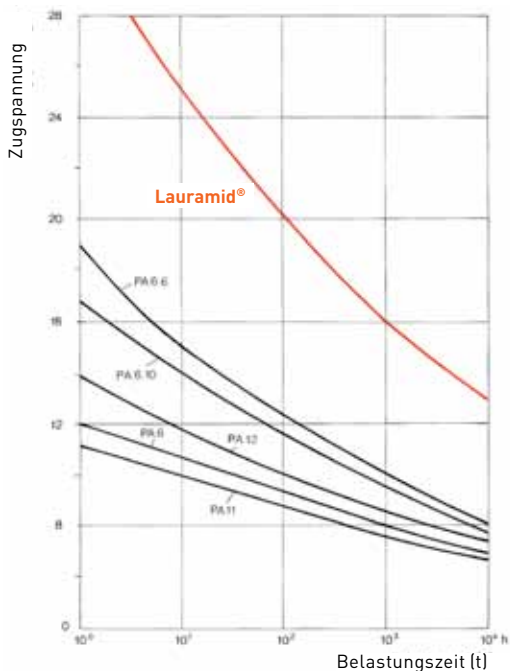
Temperaturabhängigkeit des E-Moduls luftfeuchter Polyamide und Lauramid®



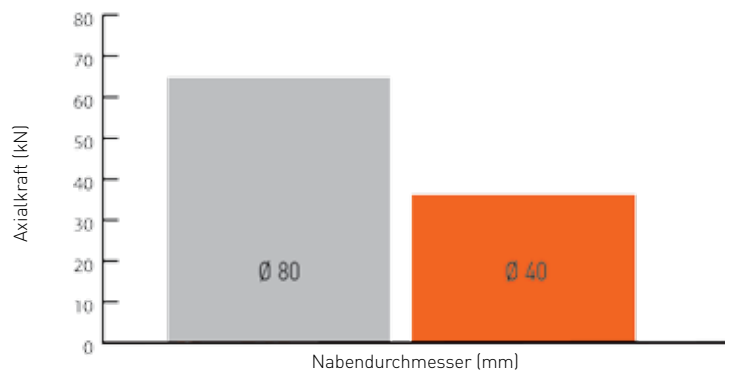
Temperaturabhängigkeit der Grenzbiegespannung von luftfeuchtem PA 6 und Lauramid®



2 %-Zeitdehnungsgrenzen von Polyamiden und Lauramid® 23 °C/50 % r. F.



Experimentelle Ermittlung der Momente zum Auspressen einer in Lauramid® eingegossenen Rändelnabe (DIN 82 RGE), Nabelnänge 20 mm, Temperatur 20 °C



Experimentelle Ermittlung der Momente zum Verdrehen einer in Lauramid® eingegossenen Rändelnabe (DIN 82 RGE), Nabelnänge 20 mm, Temperatur 20 °C

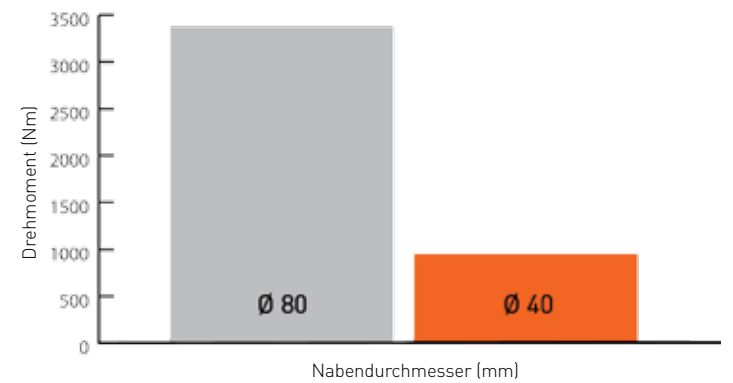


Diagramme in Anlehnung an Vieweg/Müller: Handbuch „Polyamide“, Carl Hanser Verlag, München; Hüls Publikation „Kriechverhalten von PA 12“, Sonderdruck 5034 aus der Zeitschrift „Kunststoffe“